

АНАЛИЗ КРИТИЧЕСКИ ОПАСНЫХ ПОВРЕЖДЕНИЙ СЕТИ СВЯЗИ. I. МОДЕЛЬ И ВЫЧИСЛИТЕЛЬНЫЙ ЭКСПЕРИМЕНТ

© 2020 г. Ю. Е. Малашенко^{а,*}, И. А. Назарова^а

^аФИЦ ИУ РАН, Москва, Россия

*e-mail: irina-nazar@yandex.ru

Поступила в редакцию 20.03.2020 г.

После доработки 09.04.2020 г.

Принята к публикации 25.05.2020 г.

В рамках вычислительных экспериментов на потоковой модели сети связи и управления изучаются изменения системных функциональных характеристик при разрушающих воздействиях. В качестве критически опасного повреждения рассматривается подмножество ребер, при удалении которых хотя бы для одной пары узлов источник-приемник отсутствуют любые пути соединения. Для каждого повреждения определяется как общее число разъединенных пар-корреспондентов, так и все направления связи, пропускная способность которых оказывается меньше заданного нормативного значения. На основе полученных данных формируются многопараметрические диаграммы оценки изменения максимально возможных потоков для каждого разделяющего разреза и всех пар вершин. Граничные точки на диаграммах соответствуют наиболее опасным повреждениям, недоминируемым хотя бы по одному показателю ущерба. Анализируются результаты последствий разрушающих воздействий на сетевые системы с различными структурными особенностями.

DOI: 10.31857/S0002338820050108

Введение. В работе излагаются результаты вычислительных экспериментов на модели многопользовательской сети связи и управления. Анализируются изменения значений предельно-допустимых потоков между всеми парами узлов при разрушении ребер. Рассматриваются критически опасные повреждения, при которых хотя бы для одной пары источник-приемник отсутствует возможность установить связь.

Оценка последствий конкретного разрушения производится по двум критериям: число разъединенных пар источник-приемник и/или уменьшение пропускной способности каналов связи между всеми корреспондентами. Величина ущерба для каждой пары вычисляется как разность максимальных значений потока в исходной и поврежденной сети [1]. Расчеты по указанным критериям позволяют получить представительные векторные оценки, с помощью которых можно выделить наиболее опасные разрушающие воздействия.

Вычислительные эксперименты проводились для сетей с различными структурными особенностями. Для всех сетей сформированы соответствующие многопараметрические диаграммы, позволяющие сравнивать критически опасные повреждения с недоминируемыми векторными оценками ущерба.

Предложенный метод можно рассматривать как один из подходов к решению классической задачи исследования операций “оборона против нападения” [2–5]. Полученные диаграммы позволяют “обороняющейся стороне” в условиях неопределенности сравнивать возможные потери при разрушении ребер минимальных и вершинных разрезов.

Вершинные разрезы изучаются при поиске критически важных элементов (узлов) сети в [6–8], с использованием различных векторных критериев — в [9, 10]. При анализе уязвимости кластерных конгломератов обычно проводится агрегированная оценка потерь суммарного предельно-допустимого потока из центрального узла ко всем остальным [11, 12].

В последние годы возрос интерес к более предметному и комплексному анализу уязвимости сложных взаимосвязанных сетевых систем различного назначения, функционирующих как единое территориально-распределенное образование [13–15]. В [14] прослеживается эволюция моделей исследования уязвимости, отмечается необходимость специального анализа влияния че-

ловеческого фактора, а также террористических действий и/или спланированных хакерских атак. В [16] рассматривается влияние природных катастроф на региональные сети связи, в [17, 18] предлагаются технические решения по управлению сетевым трафиком в условиях чрезвычайных ситуаций, охватывающих большие территории. В [19] приводится одна из возможных классификаций различных повреждающих воздействий на сетевые информационные системы. В [20–23] основное внимание уделяется изучению уязвимости сетевых распределенных систем топливно-энергетического комплекса. Далее в данной работе предлагается вычислительная схема, использующая методы многокритериального анализа и потокового программирования, которая может быть применена при анализе уязвимости сетевых систем различного назначения [24, 25].

1. Математическая модель. Для анализа последствий повреждений многопользовательской сетевой системы связи и управления используется модель передачи многопродуктового (МП) потока. Граф сети $G(d)$ без петель и двоянных ребер задается множествами (V, R) : узлов (вершин графа) сети $V = \{v_1, v_2, \dots, v_n, \dots, v_N\}$; неориентированных ребер $R = \{r_1, r_2, \dots, r_k, \dots, r_E\} \subset V \times V$.

Пусть ребро r_k соединяет узлы с номерами $n_k, j_k, r_k = \overline{(v_{n_k}, v_{j_k})} = (n_k, j_k)$. Для описания направления передачи потоков по сети каждому ребру $r_k, k = \overline{1, E}$, ставятся в соответствие две ориентированные дуги u_k, u_{k+E} , прямого и обратного направления из множества направленных дуг $U = \{u_1, u_2, \dots, u_k, \dots, u_{2E}\}$ графа сети $G(d), r_k \Leftrightarrow \{u_k, u_{k+E}\}$. Обозначим через $K(v_n)$ множество номеров ребер $r_k \in R$, инцидентных вершине v_n :

$$K(v_n) = \{k \mid r_k \in R\};$$

$S(v_n)$ – множество номеров исходящих дуг, по которым поток покидает узел v_n ; $T(v_n)$ – множество номеров входящих дуг, по которым поток поступает в узел v_n .

Множества $S(v_n), T(v_n)$ однозначно определяются следующей процедурой. Пусть некоторое ребро $r_k \in R$ соединяет вершины с номерами n и j , такими, что $n < j$. Тогда ориентированная дуга $u_k = (v_n, v_j)$ считается *исходящей* из вершины v_n и ее номер k заносится в множество $S(v_n)$, а ориентированная дуга $u_{k+E} = (v_j, v_n)$ – *входящей* для v_n и ее номер $k + E$ помещается в список $T(v_n)$. Соответственно дуга u_k является *входящей* для v_j и ее номер k попадает в $T(v_j)$, а дуга u_{k+E} – *исходящей* и номер $k + E$ заносится в список $S(v_j)$ исходящих дуг.

В рамках модели предполагается, что между любой парой узлов передаются различные потоки, например, происходят телефонные разговоры или двигаются пассажиропотоки между станциями метро. Пара узлов-корреспондентов p_m определяется упорядоченной парой вершин $p_m = (v_{s_m}, v_{t_m})$, где вершина с номером s_m называется источником, а с номером t_m – стоком или приемником потока m -го вида. В настоящей работе в сети из N узлов рассматривалось $M = N(N - 1)$ независимых, невзаимозаменяемых и равноправных потоков различных видов, которые передаются между узлами-корреспондентами из множества $P = \{p_1, p_2, \dots, p_M\} \subset V \times V$. Величины указанных потоков считаются функциональными характеристиками сети. В ходе вычислительных экспериментов изучаются изменения предельно-возможных потоков для каждой пары p_m при разрушении ребер сети.

Пусть x_{mk} – величина потока m -го вида, который передается в МП-сети по ребру $r_k, x_{mk} \geq 0, m = \overline{1, M}, k = \overline{1, E}$. Каждому ребру $r_k \in R$ приписывается число d_k , определяющее предельно-допустимый поток, который можно пропустить через r_k в обоих направлениях. В исходной сети компоненты вектора пропускных способностей – $d = (d_1, d_2, \dots, d_k, \dots, d_E)$ – наперед заданные положительные числа $d_k > 0$. Вектором d определяются следующие ограничения на потоки, передаваемые по ребру r_k :

$$\sum_{m=1}^M (x_{mk} + x_{m(k+E)}) \leq d_k, \quad x_{mk} \geq 0, \quad x_{m(k+E)} \geq 0, \quad k = \overline{1, E}. \quad (1.1)$$

Обозначим через $z_m, z_m \geq 0$, величину потока m -го вида, который поступает в сеть в узле с номером s_m и покидает ее из узла с номером t_m .

Во всех узлах $v_n \in V$, $n = \overline{1, N}$, сети для всех видов потоков должны выполняться условия сохранения потоков:

$$\sum_{i \in S(v_n)} x_{mi} - \sum_{i \in T(v_n)} x_{mi} = \begin{cases} z_m, & \text{если } v_n = v_{s_m}, \\ -z_m, & \text{если } v_n = v_{t_m}, \\ 0 & \text{в остальных случаях,} \end{cases} \quad (1.2)$$

$$n = \overline{1, N}, \quad m = \overline{1, M}, \quad x_{mi} \geq 0, \quad z_m \geq 0.$$

Величина z_m равна входящему потоку m -го вида, который пропускается от источника к стоку пары p_m при распределении потоков x_{mi} по дугам сети.

Ограничения (1.1), (1.2) задают множество достижимых векторов потоков $z = (z_1, z_2, \dots, z_m, \dots, z_M)$:

$$Z(x, d) = \{z \geq 0 \mid (z, x) \text{ удовлетворяют (1.1), (1.2)}\} \quad (1.3)$$

при передаче в МП-сети для всех пар $p_m \in P$.

В настоящей работе анализируются результаты вычислительных экспериментов и изучаются оценки изменения максимальных величин потоков для всех возможных пар узлов $M = N(N - 1)$ при структурных повреждениях ребер сети.

2. Формирование множества структурных повреждений. Рассмотрим некоторую произвольную пару узлов-корреспондентов $p_m \in P$ и определим максимально возможный поток, который можно передать в сети $G(d)$ из вершины с номером s_m в вершину с номером t_m без учета всех остальных потоков.

Задача 1. При некотором фиксированном m найти максимальный поток из узла с номером s_m в узел с номером t_m :

$$z_m^0 = \max_{z, x} \{z_m \mid z \in Z(x, d)\}.$$

Согласно [1], каждому максимальному значению z_m^0 соответствует некоторый набор ребер – минимальный разрез R_m , $R_m \subset R$. Множество номеров ребер, образующих разрез R_m , обозначим

$$h(m) = \left\{ k \mid r_k \in R_m, z_m^0 = \sum_{k \in h(m)} d_k \right\},$$

где R_m – минимальное подмножество ребер, таких, что при удалении их из сети максимальный поток из v_{s_m} в v_{t_m} становится равным нулю, а вершины с номерами s_m и t_m оказываются в разных связных компонентах графа сети $G(d)$. Последовательно для всех $p_m \in P$, $m = \overline{1, M}$, решаются цепочки задач 1 и формируется вектор максимальных потоков

$$z^0 = (z_1^0, z_2^0, \dots, z_m^0, \dots, z_M^0).$$

Вектору z^0 ставится в соответствие множество

$$H(\cdot) = \{h(1), h(2), h(3), \dots, h(m), \dots, h(M)\}$$

номеров ребер, найденных при решении последовательности задач 1 для всех $p_m \in P$.

Для дальнейшего формирования множества повреждений рассматривается следующая модифицированная сеть. В графе сети $G(d)$ пропускная способность всех ребер полагается равной единице:

$$d_k = 1, \quad k = \overline{1, E},$$

полученный граф сети обозначается $G(1)$, а соответствующее множество достижимых потоков – $Z(x, 1)$:

$$Z(x, 1) = \{Z(x, d) \mid d_k = 1, k = \overline{1, E}\}.$$

Для $G(1)$ определяется максимальный поток для всех пар $p_m \in P$ как решение следующей задачи максимизации.

Задача 2. Для некоторой фиксированной пары $p_m \in P$ найти максимальный поток

$$z_m^1 = \max_{z,x} \{z_m \mid z \in Z(x,1)\}.$$

Величина z_m^1 равна числу ребер в минимальном разрезе R_m^1 для максимального целочисленного потока из вершины с номером s_m в вершину с номером t_m , $z_m^1 = |R_m^1|$. Обозначим через

$$q(m) = \left\{ k \mid r_k \in R_m^1, z_m^1 = \sum_{k \in q(m)} d_k \right\}$$

список номеров ребер, при удалении которых максимальный поток из вершины с номером s_m в вершину с номером t_m становится равным нулю.

По аналогии с множеством $H(\cdot)$ строится множество

$$Q(\cdot) = \{q(1), q(2), \dots, q(m), \dots, q(M)\}$$

номеров ребер, входящих в минимальные разрезы, найденные при решении задачи 2 для всех $p_m \in P$, $m = \overline{1, M}$, в сети $G(1)$.

Рассмотрим подмножество

$$y(n) = \{k \mid r_k \in R, k \in K(v_n)\}$$

номеров ребер, инцидентных вершине v_n , и сформируем множество

$$Y(\cdot) = \{y(1), y(2), \dots, y(n), \dots, y(N)\},$$

состоящее из списков номеров ребер, инцидентных каждой вершине сети.

Для проведения вычислительного эксперимента и анализа возможных повреждений формируется множество уникальных повреждений сети

$$W = \{w_1, w_2, \dots, w_l, \dots, w_L\},$$

согласно следующей процедуре. В множествах $H(\cdot)$, $Q(\cdot)$, $Y(\cdot)$ могут содержаться одинаковые элементы. Тожественным спискам номеров ребер $h(\cdot)$, $q(\cdot)$, $y(\cdot)$ ставится в соответствие единственный элемент w_l – список номеров ребер для совпадающих $h(\cdot)$, $q(\cdot)$ или $y(\cdot)$:

$$w_l = \{k \mid r_k \in R, k \in h(\cdot), k \in q(\cdot), k \in y(\cdot)\}.$$

3. Оценки повреждений. При проведении вычислительных экспериментов при некотором повреждении w_l пропускная способность ребер сети $G(d(l))$ задается следующим образом:

$$d_k(l) = \begin{cases} d_k, & \text{если } k \notin w_l, \\ 0, & \text{если } k \in w_l. \end{cases}$$

В поврежденной сети $G(d(l))$ для всех $p_m \in P$, последовательно для каждого $m = \overline{1, M}$ определяется возможный максимальный поток.

Задача 3. При некоторых заданных l и m найти:

$$z_m^0(l) = \max_{z,x} \{z_m \mid (x, z) \in Z(x, d(l))\}.$$

Задача 3 решается последовательно для всех p_m , $p_m \in P$, и всех $w_l \in W$. На основе найденных $z_m^0(l)$, $m = \overline{1, M}$, $l = \overline{1, L}$, вычисляются индикаторные показатели:

$$\xi(m, l) = \begin{cases} 1, & \text{если } z_m^0(l) = 0, \\ 0, & \text{если } z_m^0(l) > 0. \end{cases}$$

Для каждого $w_l \in W$ рассчитывается

$$\mu(l) = \frac{\sum_{m=1}^M \xi(m, l)}{M}$$

– доля от общего числа пар узлов P , для которых максимальный поток становится равен нулю при данном повреждении w_l .

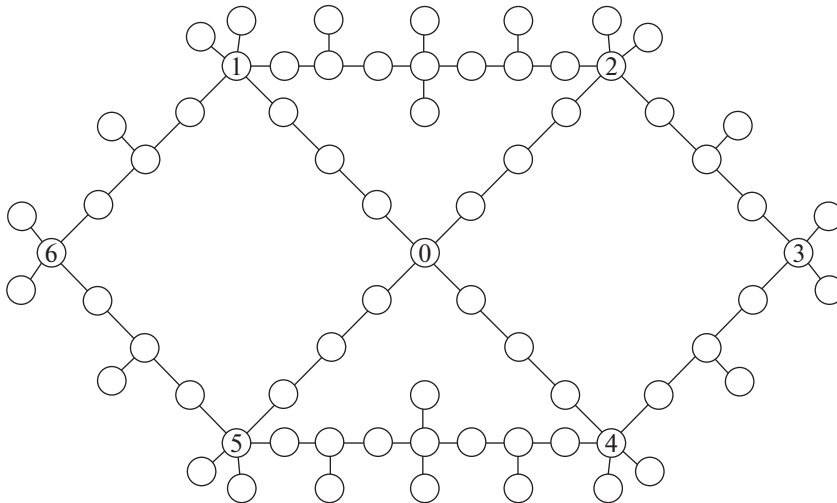


Рис. 1. Базовая сеть

Для всех $m = \overline{1, M}$, $l = \overline{1, L}$, таких, что $z_m^0(l) > 0$, и наперед заданного значения γ вычисляется индикаторная функция

$$\eta(m, l, \gamma) = \begin{cases} 1, & \text{если } \gamma \geq \frac{z_m^0(l)}{z_m^0}, \\ 0, & \text{если } \gamma < \frac{z_m^0(l)}{z_m^0}. \end{cases}$$

Значения параметра γ задаются априори в диапазоне $0 < \gamma < 1$. Индикатор $\eta(m, l, \gamma) = 1$, если максимальный поток $z_m^0(l)$ для пары p_m при повреждении w_l оказывается не больше критического значения γ .

При заданном γ для некоторого повреждения $w_l \in W$ и $z_m^0(l) > 0$ вычисляется

$$\psi(l, \gamma) = \frac{\sum_{m=1}^M \eta(m, l, \gamma)}{M}, \quad l = \overline{1, L},$$

равная доле от общего числа пар узлов P , для которых максимальный поток становится меньше или равен критическому значению при повреждении $w_l \in W$. На основе значений $(\mu(l), \psi(l, \gamma))$ для всех повреждений $w_l \in W$ строятся диаграммы, которые позволяют оценить влияние каждого разрушающего воздействия на потоки между всеми источниками и приемниками. Недоминируемые значения на внешней границе диаграмм дают возможность выделить наиболее “опасные” повреждения, которые разрывают связь между наибольшим числом пар узлов и/или приводят к критически опасному уменьшению потоков ниже допустимых показателей.

4. Вычислительный эксперимент. Вычислительный эксперимент проводился на моделях сетевых систем, представленных на рис. 1, 2 (на рис. 1 – базовая, на рис. 2 слева – рокадная, справа – фронтальная). В каждой из сетей 69 узлов. Пропускные способности ребер выбирались случайным образом из отрезка [900, 999] и совпадают для всех сетей. Пропускная способность каждого из двух дополнительных ребер на рис. 2 равна 900.

Для формирования множества критически опасных повреждений W было найдено порядка 10^4 минимальных разрезов, из которых чуть более 10^2 разрезов вошло в W (около 1%). Для целей анализа и отображения структурных повреждений на диаграммах каждому $w_l \in W$ ставится

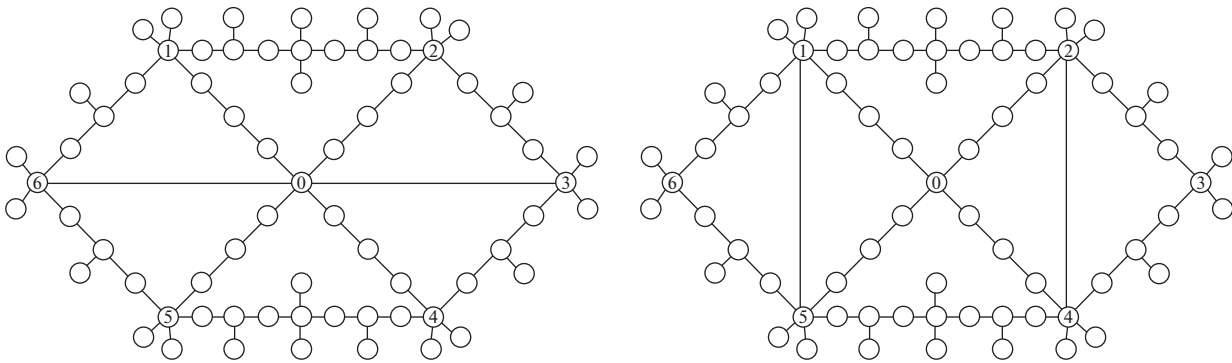


Рис. 2. Рокадная и фронтальная сети

в соответствие “ маска” – тройка индикаторов $str(w_i) = (a, b, c)$, значения которых определяются следующим образом:

- $a = 1$, если повреждение w_i совпадает с одним или более списком $h(j)$ в $H(\cdot)$, $a = 0$ – в противном случае;
- $b = 1$, если список w_i встречается в множестве $Q(\cdot)$ хотя бы один раз, $b = 0$ – в противном случае;
- $c = 1$, если w_i идентичен одному или более элементам в $Y(\cdot)$, $c = 0$ – в противном случае.

Для базовой сети (рис. 1) в множество W было включено всего 125 различных повреждений. В табл. 1 для базовой сети представлены: семь возможных записей строк-индикаторов, соответствующее число повреждений и обозначение последних на диаграммах.

Маска, содержащая только одну единицу, указывает на повреждение, принадлежащее к одному типу разрывов. Таких повреждений в множестве W больше половины и именно эти разрушения приводят к самым большим потерям.

На рис. 3 представлены диаграммы (μ, ψ) для базовой сети при $\gamma = 0.6$ и 0.5 . “Жирные точки” у восточного края диаграмм определяют недоминируемые повреждения, разделяющие максимальное число пар-корреспондентов (значение $\mu = 1/48$ по оси абсцисс). Маска $(0, 1, 0)$ соответствует разрывам в сети с графом $G(1)$ при $d_k = 1, k = \overline{1, E}$. Согласно табл. 2, существует четыре различных недоминируемых разрушения w_i , приводящих к одинаковому ущербу.

На диаграммах для базовой сети (рис. 3) недоминируемые повреждения с максимальными значениями ψ отмечены “треугольниками”. Указанные разрушения возникают при удалении вершины v_2 , а точнее – инцидентных ей ребер. Таким образом удаление вершины приводит к заметному ухудшению качества связи, уменьшению пропускной способности, хотя не сильно влияет на связность графа сети. На диаграммах “треугольники” расположены ближе к оси ординат и имеют большие значения ψ . В табл. 3 приводится максимальное число пар-корреспондентов с различными нарушениями связи для двух недоминируемых разрушений при $\gamma = 0.6$.

Недоминируемые разрушения базовой сети с указанными масками приводят к повреждениям, ущерб от которых различается более чем в 4 раза. Недоминируемый разрыв в сети с единичной

Таблица 1

Маска	Число повреждений	Обозначение на диаграмме
100	28	Кольцо
010	23	Жирная точка
001	17	Треугольник
111	35	Крестик
011	17	с указанием числа одинаковых повреждений
110	5	
101	0	

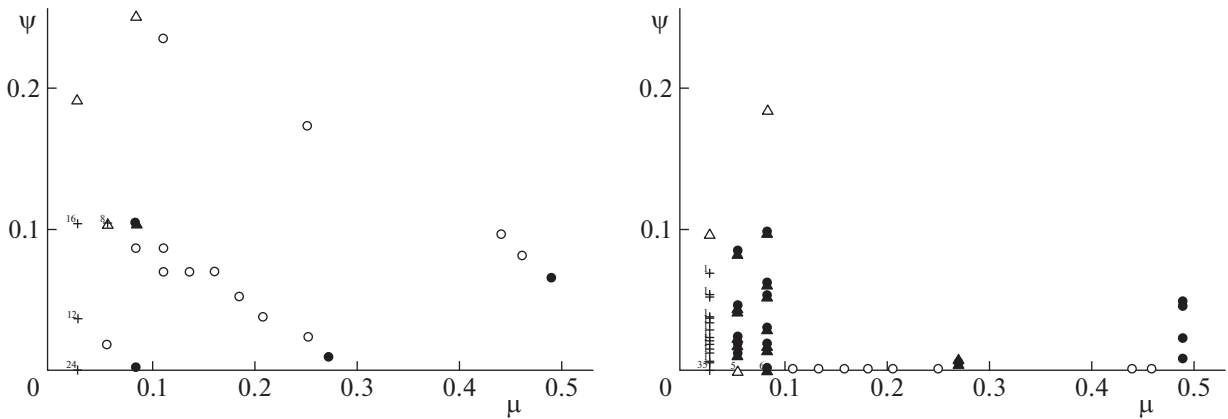


Рис. 3. Диаграммы для базовой сети

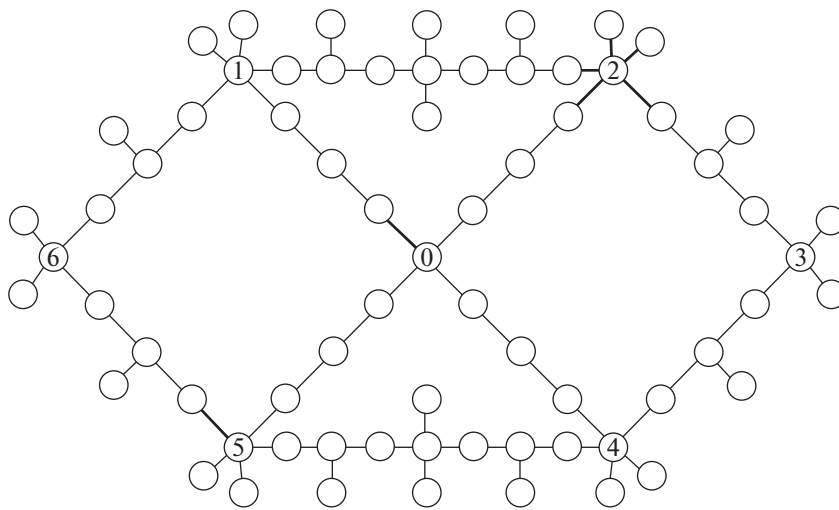


Рис. 4. Наиболее опасные повреждения

пропускной способностью ребер разъединяет половину пар, но только у 7% оставшихся величина потока снижается ниже критического значения $\gamma = 0.6$. Наихудший вершинный разрез – удаление вершины v_2 – разъединяет менее 9% пар, качество связи становится ниже допустимого у 25% пар.

Недоминируемые повреждения для базовой сети при $\gamma = 0.6$ лежат в северо-восточной части диаграммы на рис. 3 слева и обозначены кольцами и жирной точкой. Маска $(1, 0, 0)$ соответствует минимальным разрезам из множества $H(\cdot)$. На рис. 3 справа для базовой сети и $\gamma = 0.5$ повреждения с недоминируемыми значениями ущерба и масками $(0, 1, 0)$, $(0, 0, 1)$ обозначены жирной точкой и остались в северо-восточной части диаграммы, а все кольца переместились в ее внутреннюю часть. Дело в том, что значение $\gamma = 0.5$ задает более жесткие ограничения на величины сохранившихся потоков, но не влияет на число разрывов для линий связи. В результате значения ψ уменьшаются, μ – остается неизменным, а рассматриваемое повреждение перестает быть недоминируемым. На рис. 4 на графе базовой сети отмечены все ребра, входящие хотя бы в одно повреждение из табл. 3.

Таблица 2

Маска	γ	100	010	001	111	011	110	101
Число недоминируемых повреждений	$\gamma = 0.6$	4	4	4	–	–	–	–
	$\gamma = 0.5$	–	1	1	–	–	–	–

Таблица 3

Маска	010	001
Число разъединенных пар	1150	$\gg 200$
Число пар с уменьшением потока ниже $\gamma = 0.6$	150	$\ll 600$

Таблица 4

γ	Сеть	Базовая		Фронтальная		Рокадная	
	Маска	010	001	100	001	010	001
0.6	Число разъединенных пар	1150	200	1080	200	1010	200
	Число пар с уменьшением потока	150	600	200	600	90	480
0.5	Число разъединенных пар	1150	200	1080	200	1010	70
	Число пар с уменьшением потока	110	435	0	435	60	235

Базовая сеть и сети с рис. 2 имеют совпадающие множества узлов и пар-корреспондентов. Диаграммы оценки повреждений для сетей с добавленными ребрами приведены на рис. 5, 6. Добавление двух дополнительных ребер увеличивает число возможных путей соединения и максимальные потоки для большого числа корреспондентов. В табл. 4 помещены число разъединенных пар и число пар, для которых максимально возможные потоки оказываются ниже критического значения γ . Все величины приводятся для двух недоминируемых повреждений, при которых достигается либо максимум числа разъединенных пар (самая восточная точка на диаграммах), либо максимум числа пар, для которых максимальной поток ниже γ (самая северная точка на диаграммах).

Анализ табл. 4 показывает, что базовая сеть более уязвима, поскольку при особо опасных разрушениях большее число корреспондентов (6%) оказываются разъединенными по сравнению с фронтальной и рокадной сетями. Наилучший показатель у рокадной сети – наименьший по ущербу. Полученный результат закономерен, поскольку шесть центральных ребер рокадной сети, инцидентных узлу v_0 , затрудняют разделение графа сети на две связанные компоненты. В рокадной сети после повреждений также поддерживается более высокое качество связи – потери потоков меньше. Последнее связано с более мощным транзитным узлом v_0 , который усилен двумя дополнительными ребрами. На диаграммах с рис. 5, 6 видно (и анализ табл. 4 это подтверждает), что разрушение минимального разреза из множеств $H(\cdot)$ или $Q(\cdot)$ влечет за собой более серьезные нарушения функционирования сети. Наличие всего двух дополнительных ребер в рокадной сети (по сравнению с базовой) позволяет снизить максимальное число разъединенных пар на 12%, однако не влияет на ухудшение качества связи. Действительно, при разрушении со-

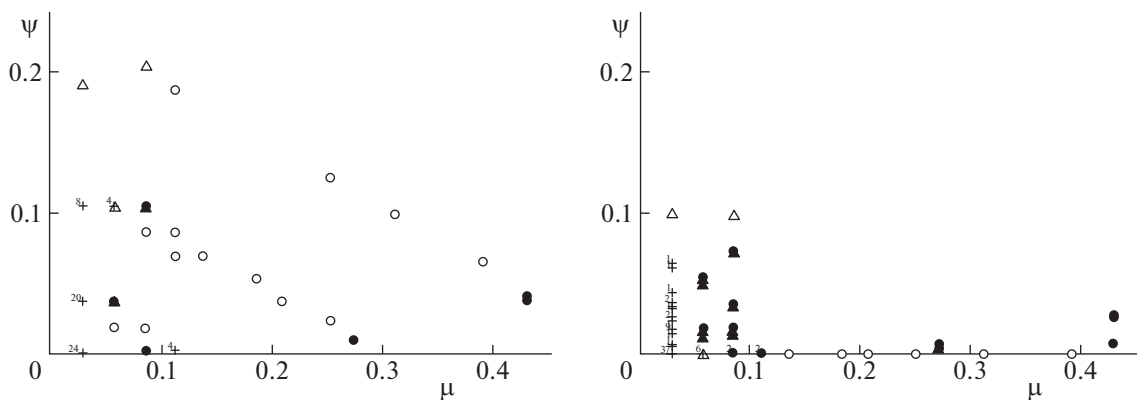


Рис. 5. Диаграммы для рокадной сети

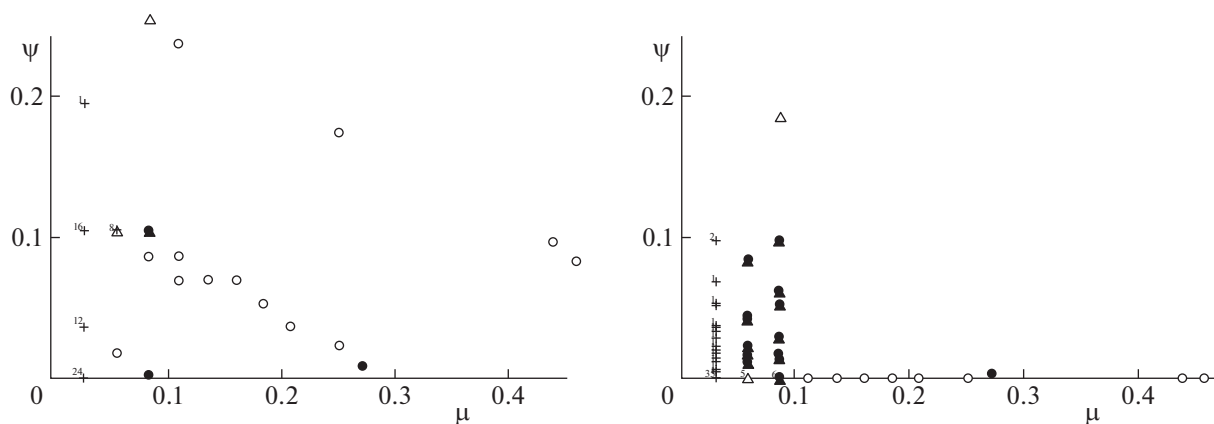


Рис. 6. Диаграммы для фронтальной сети

ответствующих вершинных разрезов падение потоков практически одинаково как в базовой, так и в рокадной сетях (см. табл. 4).

Заключение. При проведении вычислительных экспериментов используются алгоритмы потокового программирования. На первом этапе для каждой пары узлов решается задача поиска максимального потока и минимального разреза. Верхняя оценка числа операций для решения этой задачи составляет $O(N^5)$: всего пар узлов $O(N^2)$, а для определения максимального потока достаточно $O(N^3)$ [26]. На базе полученных минимальных разрезов формируется множество повреждений W , верхняя оценка числа элементов в котором $O(N^2)$. Для каждого повреждения w_i вновь определяются максимальные потоки для всех пар узлов. Результирующая верхняя оценка вычислительных затрат полиномиально зависит от числа узлов в сети и составляет не более $O(N^7)$.

При проведении расчетов для больших сетей можно использовать простые схемы распараллеливания вычислений в гетерогенной вычислительной среде и программные реализации алгоритмов сетевой оптимизации для различных операционных систем. Указанные возможности позволяют производить модельные эксперименты как на кластерах из персональных компьютеров, так и в больших территориально-удаленных центрах.

СПИСОК ЛИТЕРАТУРЫ

1. Йенсен П., Барнес Д. Потоковое программирование. М.: Радио и связь, 1984.
2. Фрэнк Г., Фриш М. Сети, связь и потоки. М.: Связь, 1978.
3. Гермейер Ю.Б. Введение в теорию исследования операций. М.: Наука, 1971.
4. Dinh T.N., Thai M.T. Assessing Attack Vulnerability in Networks with Uncertainty // IEEE Conf. on Computer Communications (INFOCOM). Kowloon, 2015. P. 2380–2388.
5. Малащенко Ю.Е., Назарова И.А., Новикова Н.М. Один подход к анализу возможных структурных повреждений в многопродуктовых сетевых системах // ЖВМиМФ. 2019. Т. 59. № 9. С. 1626–1638.
6. Lalou M., Tahraoui M.A., Kheddouci H. The Critical Node Detection Problem in Networks: a Survey // Computer Science Review. 2018. V. 28. P. 92–117.
7. Walteros J., Pardalos P. Selected Topics in Critical Element Detection // Optimization and its Applications. 2012. V. 71. P. 9–26.
8. Veremyev A., Prokipyev O.A., Pasilio E.L. Critical Nodes for Distance-based Connectivity and Related Problems in Graphs // Networks. 2015. V. 66. Iss. 3. P. 170–195.
9. Ventresca M., Harrison K.R., Ombuki-Berman B.M. The Bi-objective Critical Node Detection Problem // European J. Oper. Res. 2018. V. 265. Iss. 3. P. 895–908.
10. Li J., Pardalos P.M., Xin B., Chen J. The Bi-objective Critical Node Detection Problem with Minimum Pairwise Connectivity and Cost: Theory and Algorithms // Soft Computing. 2019. V. 23. P. 1–16.
11. Kuhnle A., Nguyen N.P., Dinh T.N., Thai M.T. Vulnerability of Clustering under Nodes Failure in Complex Networks // Social Network Analysis and Mining. 2017. V. 7. Iss. 1. P. 8–24.

12. Малащенко Ю.Е., Назарова И.А., Новикова Н.М. Анализ кластерных повреждений в сетевых системах // ЖВМиМФ. 2020. Т. 60. № 2. С. 173–184.
13. Grubestic T.H., Matiszjw T.C., Murray A.T. et al. Comparative Approaches for Assessing Network Vulnerability // Inter. Regional Sci. Review. 2008. V. 31.
14. Murray A.T. An Overview of Network Vulnerability Modeling Approaches // GeoJournal. 2013. V. 78. P. 209–221.
15. Johansson J. Risk and Vulnerability Analysis of Interdependent Technical Infrastructures. Addressing Socio-technical Systems. Doctoral Thesis in Industrial Automation. Department of Measurement Technology and Industrial Electrical Engineering. Lund: Lund University, 2010.
16. Gomes T., Esposito C., Hutchison D., Kuipers F., Rak J., Tornatore M. A Survey of Strategies for Communication Networks to Protect against Large-scale Natural Disasters // Int. Workshop on Reliable Networks Design and Modeling (RNDM). Halmstad, 2016. P. 11–22.
17. Величко В.В., Попков Г.В., Попков В.К. Модели и методы повышения живучести современных систем связи. М.: Горячая Линия – Телеком, 2017.
18. Леваков А.К. Особенности функционирования телекоммуникационных сетей следующего поколения в чрезвычайных ситуациях. М.: ИРИАС, 2012.
19. Носков С.И., Бутин А.А., Соколова Л.Е. Многокритериальная оценка уровня уязвимости объектов информатизации // Доклады ТУСУРа. 2014. № 2 (32). С. 137–142.
20. Wang S., Zhang J., Duana N. Multipleperspective Vulnerability Analysis of the Power Network // Physica A. 2018. V. 492. P. 1581–1590.
21. Фаддеев А.М. Оценка уязвимости энергосистем России, стран Ближнего зарубежья и Европы // Вестн. МГУ. Сер. 5. География. 2016. № 1. С. 46–53.
22. Malashenko Y.E., Nazarova I.A., Novikova N.M., Pospelova I.I. A Network Flow Model for Power and Energy System with Changing Capabilities // Int. J. of Public Administration. 2019. V. 42. Iss. 15–16. С. 1323–1332.
23. Malashenko Yu.E., Nazarova I.A., Novikova N.M. Fuel and Energy System Control at Large-scale Damages. IV. A Priori Estimates of Structural and Functional Vulnerability // J. Computer and Systems Sciences International. 2018. V. 57. № 6. P. 907–920.
24. Royset J.O., Wood R.K. Solving the Bi-objective Maximum-flow Network-interdiction Problem // INFORMS J. Comput. 2007. V. 19. Iss. 2. P. 175–184.
25. Nicholson C.D., KashBarker K., Ramirez-Marquez J.E. Flow-based Vulnerability Measures for Network Component Importance: Experimentation with Preparedness Planning // Reliability Engineering and System Safety. 2016. V. 145. P. 62–73.
26. Кормен Т.Х., Лейзерсон Ч.И., Ривест Р.Л. и др. Алгоритмы: построение и анализ. М.: Вильямс, 2005.